

## Rappels du premier cours (1)

- Espace probabilisé  $(\Omega, \mathcal{A}, \mathbb{P})$ ,
- Espace de fonctions de carré intégrable (de dimension infinie)  $\mathcal{F} = L^2(T)$ , pour  $T \subset \mathbb{R}$  intervalle.

### Définition

**Donnée fonctionnelle** : une réalisation d'une variable fonctionnelle  $X$ ,

$$\begin{aligned} X : \Omega &\longrightarrow L^2(T) \\ \omega &\longmapsto X(\omega, \cdot) \end{aligned}$$

avec

$$\begin{aligned} X(\omega, \cdot) : T &\longrightarrow \mathbb{R} \\ t &\longmapsto X(\omega, t). \end{aligned}$$

**Exemples** : données longitudinales (courbes de températures, taux d'incidence d'une maladie, croissance...), données spectrométriques, données multivariées ou spatiales...

## Rappels du premier cours (2)

	Vecteur aléatoire	V.a. fonctionnelle
Données	$X \in \mathbb{R}^d$ $X = {}^t(X_1, \dots, X_d)$	$X \in L^2(T)$ $X = \{X(t), t \in T\}$
Espace Structure	$(\mathbb{R}^d, \langle \cdot, \cdot \rangle, \ \cdot\ )$ Espace euclidien	$(L^2(T), \langle \cdot, \cdot \rangle, \ \cdot\ )$ Espace hilbertien
Produit scalaire	$\langle x, y \rangle = \sum_{j=1}^d x_j y_j$	$\langle x, y \rangle = \int_T x(t) y(t) dt$
Norme	$\ x\  = \left( \sum_{j=1}^d x_j^2 \right)^{1/2}$	$\ x\  = \left( \int_T x^2(t) dt \right)^{1/2}$
Bases Écriture unique	Bases orthonormées $(e_j)_{j \in \{1, \dots, d\}}$ $x = \sum_{j=1}^d \langle x, e_j \rangle e_j$	Bases hilbertiennes $(\varphi_j)_{j \geq 1}$ $x = \sum_{j \geq 1} \langle x, \varphi_j \rangle \varphi_j$

## Rappels du premier cours (3)

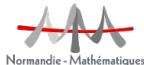
	Vecteur aléatoire	V.a. fonctionnelle
Données	$X \in \mathbb{R}^d$ $X = {}^t(X_1, \dots, X_d)$	$X \in L^2(T)$ $X = \{X(t), t \in T\}$
Moyenne	vecteur de moyenne $\mathbb{E}[X] = {}^t(\mathbb{E}[X_1], \dots, \mathbb{E}[X_d])$	courbe de la moyenne $\mathbb{E}[X] = \{\mathbb{E}[X(t)], t \in T\}$
Covariance	matrice $\Sigma_X = (\text{Cov}(X_j, X_k))_{1 \leq j, k \leq d}$	fonction de covariance $C_X$ ou opérateur $\Gamma_X$ $C_X(s, t) = \text{Cov}(X(s), X(t))$ $\Gamma_X : f \mapsto \Gamma_X f(\cdot)$ $\Gamma_X f(t) = \mathbb{E}[\langle X, f \rangle X(t)] = \int_T C(s, t) f(s) ds$

# Statistique pour données fonctionnelles.

## Chapitre 3. Des données aux fonctions (lisses)

Gaëlle Chagny  
CNRS, Labo. de Maths. R. Salem, Univ. Rouen,

**Université Paris Dauphine – Executive Master Statistique et Big data, 2020**



# Plan

Introduction

Lissage par moindres carrés

Lissage par moindres carrés pénalisés

# Plan

Introduction

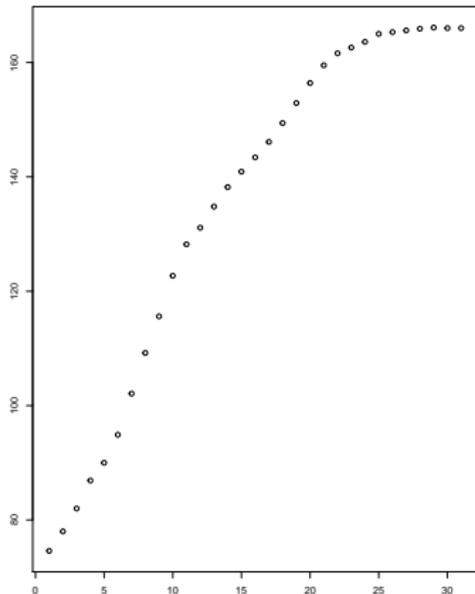
Lissage par moindres carrés

Lissage par moindres carrés pénalisés

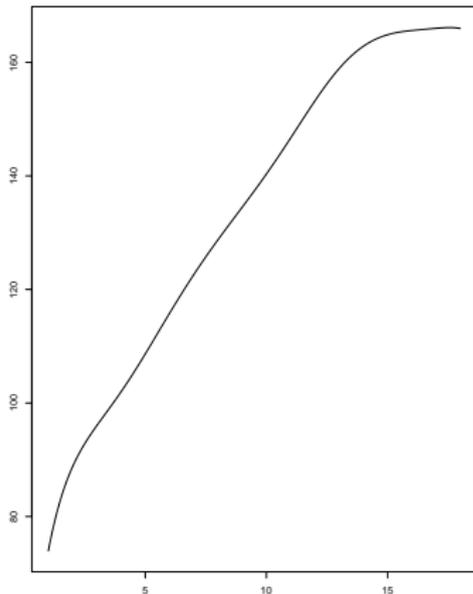
# Problématique (1)

## Comment passer

des données brutes



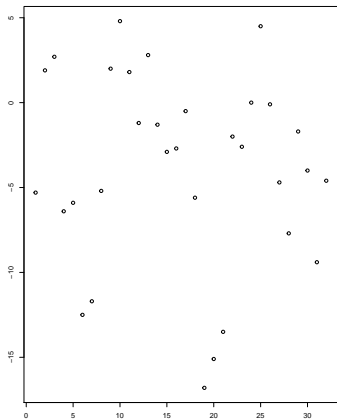
à une courbe lisse ?



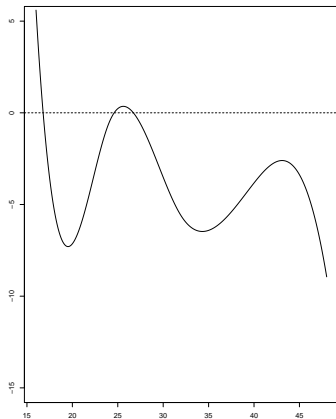
## Problématique (2)

**Comment passer**

des données brutes



à une courbe lisse ?



## Problématique (3)

1ère étape de toute étude de données fonctionnelles

### Comment passer

- des données brutes sous forme discrétisées

$$\forall i \in \{1, \dots, n\}, y_i = {}^t(y_{i,1}, \dots, y_{i,p_i})$$

à

- des données sous leur forme continue

$$\forall i \in \{1, \dots, n\}, \{x_i(t), t \in T\}$$

→ Conversion de mesures discrètes en une fonction continue.

**Notation :**  $y_{i,j}$   $j$ -ième mesure de l'individu  $i$ .

## Problématique (4)

Quelle modélisation ?

- **1er cas.** Données brutes collectées sans erreur (ou avec erreurs négligeables)

$$\forall i \in \{1, \dots, n\}, y_{i,j} = x_i(t_{i,j}) \quad j = 1, \dots, p_i.$$

→ interpolation

- **2nd cas.** Données bruitées.

$$\forall i \in \{1, \dots, n\}, y_{i,j} = x_i(t_{i,j}) + \varepsilon_{i,j} \quad j = 1, \dots, p_i,$$

$\varepsilon_{i,j}$  variables non observées centrées, admettant une variance.

→ Modèle de régression non-paramétrique. **Méthodes de Lissage**

## Problématique (5)

- **Cadre.**  $y = {}^t(y_1, \dots, y_p) \in \mathbb{R}^p$

$$y_j = x(t_j) + \varepsilon_j, \quad j = 1, \dots, p.$$

$\varepsilon_j$  v.a.r. non observées *i.i.d.* centrées, admettant une variance (inconnue).

- **Objectif.** Construire une approximation/estimation  $\widehat{x}$  de  $x$ .
- **Exigences possibles (en analyse de données fonctionnelles).**
  - $\widehat{x}(t_j)$  proche de  $y_j$  pour tout  $j$   
 → **lissage par moindres carrés** (critère global).
  - $\widehat{x}$  régulière  
 → **lissage par moindres carrés pénalisés** (critère global).
  - $\widehat{x}(t)$  construit en tenant plus compte des  $y_j$  tq  $t_j$  est proche de  $t$ .  
 → **lissage par méthodes locales**

# Plan

Introduction

Lissage par moindres carrés

Lissage par moindres carrés pénalisés

## Lissage par moindres carrés (1)

$$y_j = x(t_j) + \varepsilon_j, \quad j = 1, \dots, p.$$

## Définition

- critère des moindres carrés pour le problème de régression lié aux données  $(t_j, y_j)_{j=1, \dots, p}$  :

$$\text{Crit}_{LS}(x) = \sum_{j=1}^p (y_j - x(t_j))^2.$$

- estimateur de type moindres carrés

$$\widehat{x} \in \arg \min_x \text{Crit}_{LS}(x).$$

**Question :** sur quel espace de fonctions calculer le minimum ?

→ Recherche de  $\widehat{x}$  sous la forme d'une C.L. de fonctions linéairement indépendantes.

## Lissage par moindres carrés (2)

- Fonctions linéairement indépendantes :  $(\varphi_k)_{k=1,\dots,D}$ .
- Espace d'approximation, ou modèle ("sieve") :  $S_D = \text{Vect}\{\varphi_1, \dots, \varphi_D\}$
- Minimisation du critère sur  $S_D$

$$\begin{aligned} \min_{x \in S_D} \text{Crit}_{LS}(x) &= \min_{x \in S_D} \sum_{j=1}^p (y_j - x(t_j))^2 \\ &= \min_{\theta \in \mathbb{R}^D} \sum_{j=1}^p \left( y_j - \sum_{k=1}^D \theta_k \varphi_k(t_j) \right)^2 \\ &:= \min_{\theta \in \mathbb{R}^D} \text{Crit}_{LS,\theta}(\theta). \end{aligned}$$

## Lemme

Si  $\widehat{x}$  est la solution du problème de minimisation précédent sur  $S_D$ ,

$$\widehat{x}(t) = \sum_{k=1}^D \widehat{\theta}_k \varphi_k(t), \quad t \in T, \quad \text{avec } \widehat{\theta} = (\theta_k)_{k \in \{1, \dots, D\}} \in \arg \min_{\theta \in \mathbb{R}^D} \text{Crit}_{LS,\theta}(\theta).$$

Si  $\Phi(t) = {}^t(\varphi_1(t), \dots, \varphi_D(t))$ ,  $\widehat{x}(t) = {}^t\widehat{\theta}\Phi(t)$ .

## Lissage par moindres carrés (3)

$$\min_{\theta \in \mathbb{R}^D} \sum_{j=1}^p \left( y_j - \sum_{k=1}^D \theta_k \varphi_k(t_j) \right)^2 = \min_{\theta \in \mathbb{R}^D} \text{Crit}_{LS,\theta}(\theta) = \min_{\theta \in \mathbb{R}^D} {}^t(y - \Phi\theta)(y - \Phi\theta)$$

## Proposition

La solution  $\widehat{\theta}$  au problème d'optimisation satisfait

$$\widehat{\theta} = ({}^t\Phi\Phi)^{-1}{}^t\Phi y,$$

- $y = {}^t(y_1, \dots, y_p)$
- $\Phi$  matrice à  $p$  lignes et  $D$  colonnes :  $\Phi = (\varphi_k(t_j))_{\substack{1 \leq j \leq p, \\ 1 \leq k \leq D}}$ .

Le vecteur  $\widehat{y} = {}^t(\widehat{y}_1, \dots, \widehat{y}_p) = {}^t(\widehat{x}(t_1), \dots, \widehat{x}(t_p))$  des valeurs ajustées est donc

$$\widehat{y} = \Phi\widehat{\theta} = \Phi({}^t\Phi\Phi)^{-1}{}^t\Phi y.$$

## Lissage par moindres carrés (4) - Choix de la dimension de l'espace d'approximation

$$\widehat{x} \in \arg \min_{x \in S_D} \text{Crit}_{LS}(x).$$

**Question posée par la méthode.** Choix de la dimension  $D$  de l'espace d'approximation  $S_D = \text{Vect}\{\varphi_1, \dots, \varphi_D\}$ .

- Si  $D$  est trop petit : biais de l'estimation trop grand, peu de flexibilité  
→ données sous-ajustées (*underfitting*)
- Si  $D$  est trop grand : bcp de flexibilité, ms variabilité trop importante  
→ données sur-ajustées (*overfitting*)

**Attention !** Augmenter  $D$  ne signifie pas toujours calculer des coefficients supplémentaires, il faut parfois tout calculer à nouveau.

→ Cas des espaces non-emboîtés (base de splines par exemple).

## Lissage par moindres carrés (5) - Code R - Méthode 1

**Calcul de l'objet fonctionnel  $\widehat{x}$  tq  $\widehat{x}(t) = \sum_{k=1}^D \widehat{\theta}_k \varphi_k(t)$ ,  $t \in T$ , avec  $\widehat{\theta} = ({}^t\Phi\Phi)^{-1}{}^t\Phi y$ ,**

### 1. Point de départ

- Matrice  $\Phi$  (voir chapitre précédent)
- Vecteur des observations  $y$

### 2. Fonctions utiles

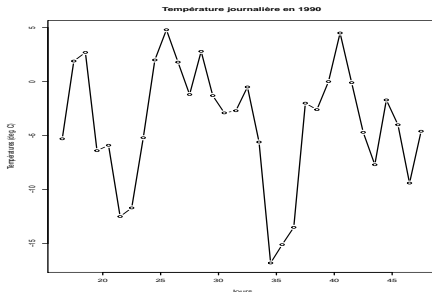
- `crossprod`
  - Cas 1 : seul argument,  $\Phi \rightarrow$  renvoie  $A = {}^t\Phi\Phi$ .
  - Cas 2 : arguments  $\Phi$  et  $y \rightarrow$  renvoie  $b = {}^t\Phi y$ .
- `solve` : arguments  $A$  et  $b \rightarrow$  renvoie  $\widehat{\theta}$  obtenu par résolution du système  $A\widehat{\theta} = b$ .

3. **Création de  $\widehat{x}$**  : fonction `fd` (voir chapitre précédent).

4. **Comparaison de  $\widehat{x}$  aux données  $y$**  : fonction `plotfit.fd`.

## Lissage par moindres carrés (6) - Exemple 1

Lissage des données **MontrealTemp** (package **fda**).



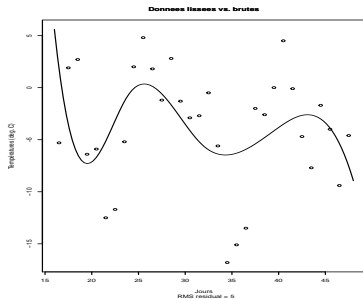
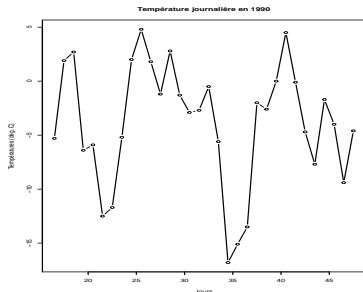
Code R.

```
Donnees_brutes_temp<- t(MontrealTemp[, 16:47]) #matrice 32*34
Jours <-((16:47)+0.5)
plot(Jours,t(Donnees_brutes_temp[,30]),"b", lwd=2,xlab="Jours",ylab='Températures (deg. C)',main="Température journalière en 1990")
```

→ Étude de l'influence du nombre de fonctions de base (choix de  $D$ ).

## Lissage par moindres carrés (7) - Exemple 1

Lissage des données **MontrealTemp** - Cas d'une base de 7 fonctions .

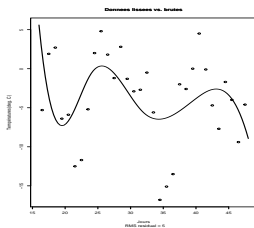


Code R.

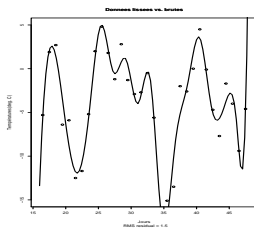
```
Fct_base_temp <- create.bspline.basis(c(16,48),7) #7 Bsplines cubiques
MatPhi_temp <- eval.basis(Jours,Fct_base_temp)
Coeff_MC_temp <- solve(crossprod(MatPhi_temp),crossprod(MatPhi_temp,Donnees_brutes_temp)) #coeff du lissage
Donnees_lisseesMC_temp<-fd(Coeff_MC_temp,Fct_base_temp,list("Jours","années","Température (deg. C)"))
plotfit.fd(Donnees_brutes_temp[,30],Jours,Donnees_lisseesMC_temp[30],lty=1,lwd=2,main='Donnees lissees vs. brutes',
  xlab="Jours",ylab='Températures (deg. C)')
```

## Lissage par moindres carrés (8) - Exemple 1

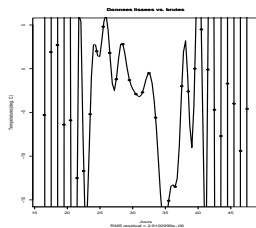
Lissage des données **MontrealTemp** - Choix du nombre de fonctions de base.



$D = 7$



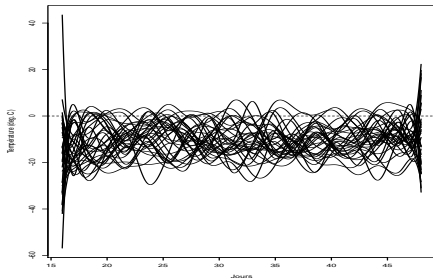
$D = 20$



$D = 32$

## Lissage par moindres carrés (9) - Exemple 1

Lissage des données **MontrealTemp** (package **fda**).

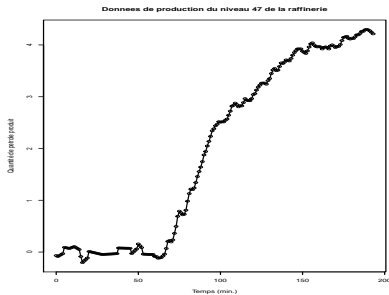


Code R.

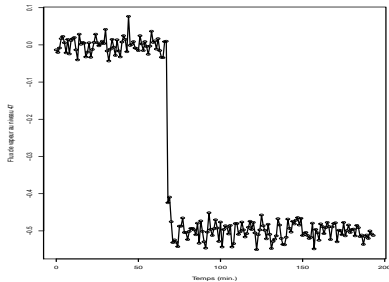
```
plot(Donnees_lisseesMC_temp, lty=1, col=1)
```

## Lissage par moindres carrés (10) - Exemple 2

Lissage des données **refinery** (package **fda**).



quantité de pétrole produit  
à un certain niveau de la colonne de distillation  
en fonction du temps

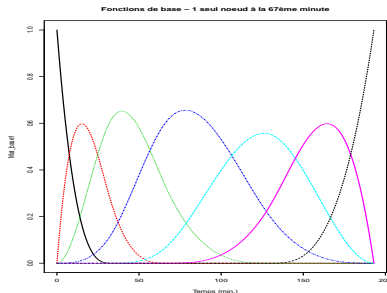


flux de vapeur  
dans cette même colonne  
en fonction du temps

→ Étude de l'influence du nombre de noeuds d'une base de  $B$ -splines.

## Lissage par moindres carrés (11) - Exemple 2

Lissage des données **refinery** - Base de  $B$ -splines cubiques, 1 seul noeud à la 67ème minute.

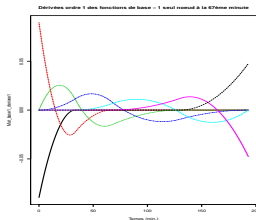


Code R.

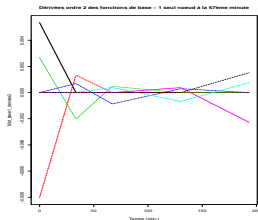
```
Noeuds_Refin1<-c(0,33.5,67,130,193);
Fct_base_Refin1 <- create.bspline.basis(c(0,193),norder=4,breaks=Noeuds_Refin1)
temps <-seq(0,193,1)
Mat_base1 <-eval.basis(refinery$Time,Fct_base_Refin1,Lfdobj = 0)
matplot(refinery$Time,Mat_base1,xlab='Temps (min.)',type='l', main='Fonctions de base
- 1 seul noeud à la 67ème minute')
```

## Lissage par moindres carrés (12) - Exemple 2

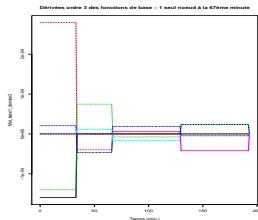
Lissage des données **refinery** - Base de  $B$ -splines cubiques, 1 seul noeud à la 67ème minute.



Dérivées ordre 1



Dérivées ordre 2



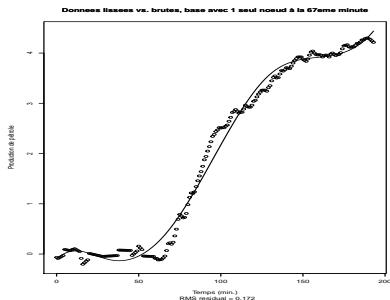
Dérivées ordre 3

Code R.

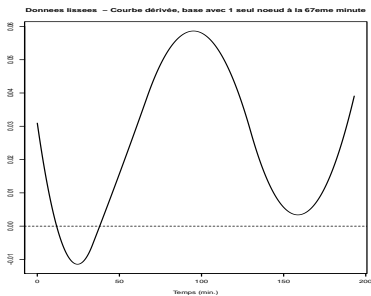
```
Mat_base1_derivee1 <-eval.basis(refinery$Time,Fct_base_Refin1,Lfdobj = 1)
Mat_base1_derivee2 <-eval.basis(refinery$Time,Fct_base_Refin1,Lfdobj = 2)
Mat_base1_derivee3 <-eval.basis(refinery$Time,Fct_base_Refin1,Lfdobj = 3)
matplot(refinery$Time,Mat_base1_derivee1,xlab='Temps (min.)',type='l',main='Dérivées ordre 1 des fonctions de base
- 1 seul noeud à la 67ème minute')
matplot(refinery$Time,Mat_base1_derivee2,xlab='Temps (min.)',type='l',main='Dérivées ordre 2 des fonctions de base
- 1 seul noeud à la 67ème minute')
matplot(refinery$Time,Mat_base1_derivee3,xlab='Temps (min.)',type='l',main='Dérivées ordre 3 des fonctions de base
- 1 seul noeud à la 67ème minute')
```

## Lissage par moindres carrés (13) - Exemple 2

Lissage des données refinery - Base de  $B$ -splines cubiques, 1 seul noeud à la 67ème minute .



Données lissées



Courbe dérivée

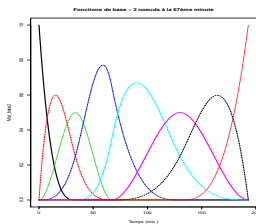
Code R.

```
Coef_Mc_Refin1<- solve(crossprod(Mat_base1),crossprod(Mat_base1,refinery$Tray47))
Donnees_lisseesMC_Refin1 <-fd(Coef_Mc_Refin1,Fct_base_Refin1)
```

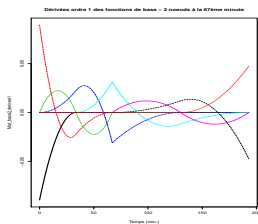
```
plotfit.fd(refinery$Tray47,refinery$Time,Donnees_lisseesMC_Refin1,lty=1,lwd=1,
main='Donnees lissees vs. brutes, base avec 1 seul noeud à la 67eme minute',col=1,xlab='Temps (min.)',ylab='Production de pétrole')
plot(Donnees_lisseesMC_Refin1,Lfdobj=1,xlab='Temps (min.)',ylab='',
main='Donnees lissees - Courbe dérivée, base avec 1 seul noeud à la 67eme minute',col=1)
```

## Lissage par moindres carrés (14) - Exemple 2

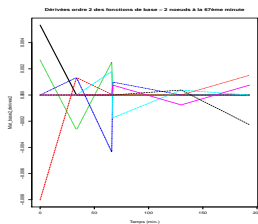
Lissage des données **refinery** - Base de  $B$ -splines cubiques, 2 noeuds à la 67ème minute.



Fonctions de base



Dérivées ordre 1



Dérivées ordre 2

Code R.

```

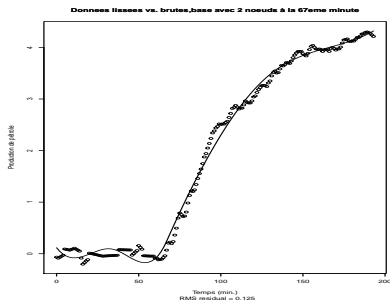
Noeuds_Refin2<-c(0,33.5,67,130,193);
Fct_base_Refin2 <- create.bspline.basis(c(0,193),norder=4,breaks=Noeuds_Refin2)
temps <- seq(0,193,1)
Mat_base2 <-eval.basis(refinery$Time,Fct_base_Refin2,Lfdobj = 0)
Mat_base2_derivee1 <-eval.basis(refinery$Time,Fct_base_Refin2,Lfdobj = 1)
Mat_base2_derivee2 <-eval.basis(refinery$Time,Fct_base_Refin2,Lfdobj = 2)

matplot(refinery$Time,Mat_base2,xlab='Temps (min.)',type='l',
main='Fonctions de base - 2 noeuds à la 67ème minute')
matplot(refinery$Time,Mat_base2_derivee1,xlab='Temps (min.)',type='l',
main='Dérivées ordre 1 des fonctions de base - 2 noeuds à la 67ème minute')
matplot(refinery$Time,Mat_base2_derivee2,xlab='Temps (min.)',type='l',
main='Dérivées ordre 2 des fonctions de base - 2 noeuds à la 67ème minute')

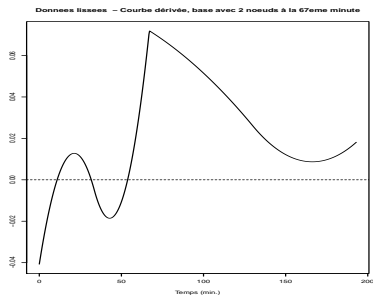
```

## Lissage par moindres carrés (15) - Exemple 2

Lissage des données refinery - Base de  $B$ -splines cubiques, 2 noeuds à la 67ème minute .



Données lissées



Courbe dérivée

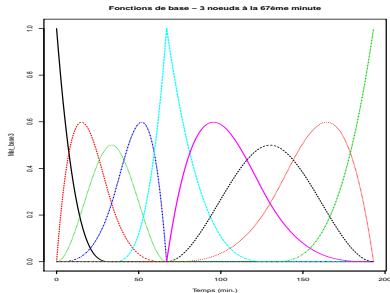
Code R.

```
Coef MC_Refin2 <- solve(crossprod(Mat_base2), crossprod(Mat_base2, refinery$Tray47))
Donnees_lisseesMC_Refin2 <- fd(Coef_MC_Refin2, Fct_base_Refin2)
```

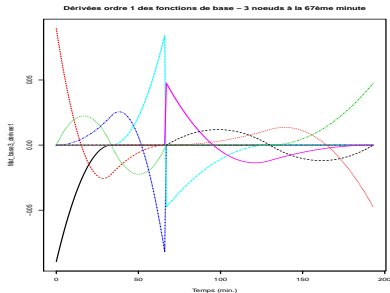
```
plotfit.fd(refinery$Tray47, refinery$Time, Donnees_lisseesMC_Refin2, lty=1, lwd=1,
main='Donnees lissees vs. brutes_base avec 2 noeuds à la 67eme minute', col=1, xlab='Temps (min.)', ylab='Production de pétrole')
plot(Donnees_lisseesMC_Refin2, Lfdobj=1, xlab='Temps (min.)', ylab='',
main='Donnees lissees - Courbe dérivée, base avec 2 noeuds à la 67eme minute', col=1)
```

## Lissage par moindres carrés (16) - Exemple 2

Lissage des données **refinery** - Base de  $B$ -splines cubiques, 3 noeuds à la 67ème minute.



Fonctions de base



Dérivées ordre 1

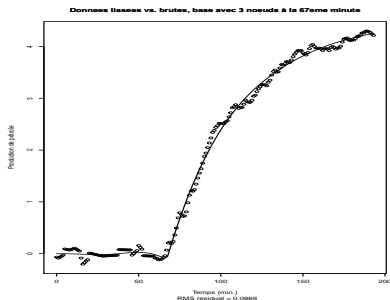
Code R.

```
Noeuds_Refin3<-c(0,33.5,67,67,130,193);
Fct_base_Refin3 <- create.bspline.basis(c(0,193),norder=4,breaks=Noeuds_Refin3)
temps <-seq(0,193,1)
Mat_base3 <-eval.basis(refinery$Time,Fct_base_Refin3,Lfdobj = 0)
Mat_base3_derivee1 <-eval.basis(refinery$Time,Fct_base_Refin3,Lfdobj = 1)

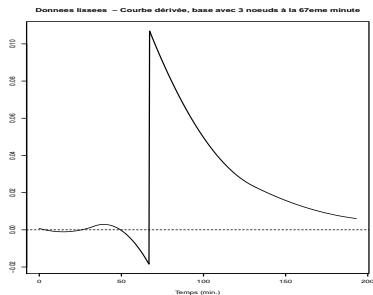
matplot(refinery$Time,Mat_base3,xlab='Temps (min.)',type='l',
        main='Fonctions de base - 3 noeuds à la 67ème minute')
matplot(refinery$Time,Mat_base3_derivee1,xlab='Temps (min.)',type='l',
        main='Dérivées ordre 1 des fonctions de base - 3 noeuds à la 67ème minute')
```

## Lissage par moindres carrés (17) - Exemple 2

Lissage des données refinery - Base de  $B$ -splines cubiques, 3 noeuds à la 67ème minute.



Données lissées



Courbe dérivée

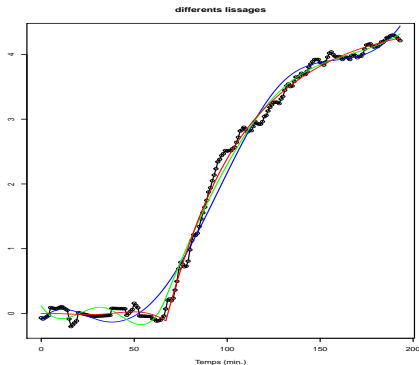
Code R.

```
Coef_Mc_Refin3<- solve(crossprod(Mat_base3),crossprod(Mat_base3,refinery$Tray47))
Donnees_lisseesMC_Refin3 <-fd(Coef_Mc_Refin3,Fct_base_Refin3)
```

```
plotfit.fd(refinery$Tray47,refinery$Time,Donnees_lisseesMC_Refin3,lty=1,lwd=1,
main='Donnees lissees vs. brutes, base avec 3 noeuds à la 67ème minute',col=1,xlab='Temps (min.)',ylab='Production de pétrole')
plot(Donnees_lisseesMC_Refin3,Lfdobj=1,xlab='Temps (min.)',ylab='',
main='Donnees lissees - Courbe dérivée, base avec 3 noeuds à la 67ème minute',col=1)
```

## Lissage par moindres carrés (18) - Exemple 2

## Lissage des données refinery - Synthèse.



## Code R.

```
Refin1<-eval.fd(refinery$Time,Donnees_lisseesMC_Refin1,Lfdobj = 0)
Refin2<-eval.fd(refinery$Time,Donnees_lisseesMC_Refin2,Lfdobj = 0)
Refin3<-eval.fd(refinery$Time,Donnees_lisseesMC_Refin3,Lfdobj = 0)
```

```
plot(refinery$Time,refinery$Tray47,type='o',xlab='Temps (min.)',ylab='',main='différents lissages')
```

```
points(refinery$Time,Refin1,type='l',col="blue")
points(refinery$Time,Refin2,type='l',col="green")
points(refinery$Time,Refin3,type='l',col="red")
```

## Lissage par moindres carrés (19) - Code R - Méthode 2

Autre méthode pour le calcul de l'objet fonctionnel  $\widehat{x}$  tq

$$\widehat{x}(t) = \sum_{k=1}^D \widehat{\theta}_k \varphi_k(t), \quad t \in T, \quad \text{avec } \widehat{\theta} = ({}^t\Phi\Phi)^{-1}{}^t\Phi y,$$

### 1. Point de départ

- Matrice  $\Phi$  (voir chapitre précédent)
- Vecteur des observations  $y$

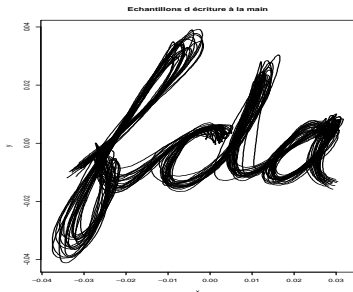
### 2. Fonction **smooth.basis** (à la place de **crossprod** et **solve**)

- Arguments importants
  - `argvals` les valeurs des  $(t_j)_{j=1,\dots,p}$  ;
  - les données  $(y_j)_{j=1,\dots,p}$ .
  - `fdParObj` objet de la classe `basisfd` (sortie de `create.Nom_base.basis`) dans le cas d'un lissage par MC (non pénalisés)
- Sortie : si `a<-smooth.basis(...)`
  - `a$fd` objet fonctionnel

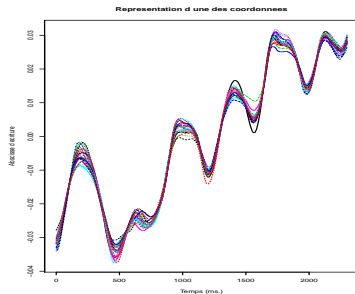
### 3. Comparaison de $\widehat{x}$ aux données $y$ : fonction **plotfit.fd**.

## Lissage par moindres carrés (20) - Exemple 3

Lissage des données **handwrit.**



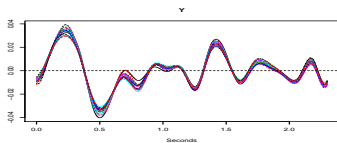
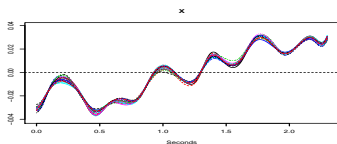
20 tracés  
(unité de l'axe des abscisses : cm.)



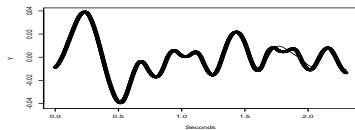
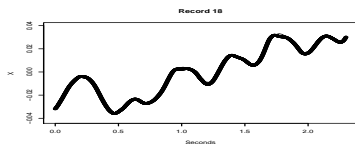
courbes d'évolution des  
abscisses au cours du temps (20 courbes)

## Lissage par moindres carrés (21) - Exemple 3

Lissage des données **handwrit**. base de B-splines cubiques, avec 21 noeuds (23 fonctions de base)



toutes les courbes lissées



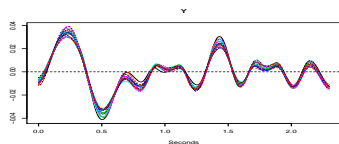
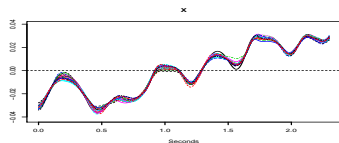
enregistrement 18  
données brutes vs. lissées

Code R.

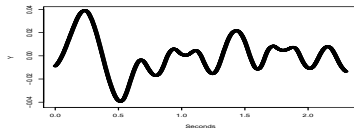
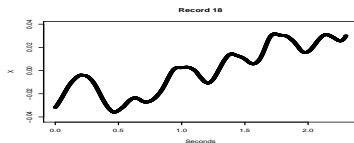
```
pts_rupture_handwrit1 <- seq(0,2.3,length.out=21)
nb_Fct_base_handwrit1 <- 23
Fct_base_handwrit1 <- create.bspline.basis(c(0,2.3),norder=4,breaks=pts_rupture_handwrit1)
tps_handwrit <- seq(0, 2.3, len=1401)
noms_variables <- list('Seconds',NULL,c('X','Y'))
Donnees_lissees_handwrit1 <- smooth.basis(tps_handwrit,handwrit,Fct_base_handwrit1,fdnames=noms_variables)
par(mfrow=c(2,1))
plot(Donnees_lissees_handwrit1$f$d)
plotfit.fd(handwrit,tps_handwrit,Donnees_lissees_handwrit1$f$d,type='p')
```

## Lissage par moindres carrés (22) - Exemple 3

Lissage des données **handwrit**. base de B-splines d'ordre 6, avec 51 noeuds (55 fonctions de base)



toutes les courbes lissées



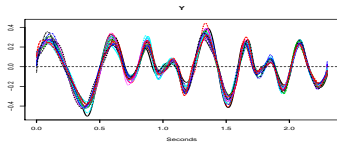
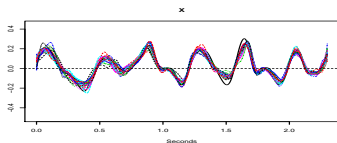
enregistrement 18  
données brutes vs. lissées

Code R.

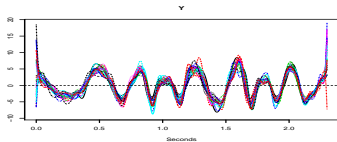
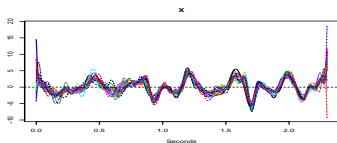
```
pts_rupture_handwrit2 <- seq(0,2.3,length.out=51)
Fct_base_handwrit2 <- create.bspline.basis(c(0,2.3),norder=6,breaks=pts_rupture_handwrit2)
Donnees_lissees_handwrit2 <- smooth.basis(tps_handwrit,handwrit,Fct_base_handwrit2,fdnames=noms_variables)
```

## Lissage par moindres carrés (23) - Exemple 3

**Lissage des données *handwrit*.** base de B-splines d'ordre 6, avec 51 noeuds (55 fonctions de base), courbes dérivées



ordre 1



ordre 2

Code R.

```
par(mfrow=c(2,1))
plot(Donnees_lissees_handwrit2$fd,Lfdobj=1)
plot(Donnees_lissees_handwrit2$fd,Lfdobj=2)
```

# Plan

Introduction

Lissage par moindres carrés

Lissage par moindres carrés pénalisés

## Lissage par moindres carrés pénalisés (1)

$$y_j = x(t_j) + \varepsilon_j, \quad j = 1, \dots, p.$$

- **Objectif du lissage :**
  - bon ajustement aux données ;
  - pas d'ajustement trop précis (sinon, trop de variabilité)
- **Conséquence :** → minimisation d'un critère de type moindres carrés, mais **sous la contrainte que la fonction à estimer est régulière.**
- **Mesure de la régularité/rugosité d'une fonction (roughness)**

$$\text{pen}_m(x) = \int_T (x^{(m)}(t))^2 dt.$$

- $x^{(1)} = x'$  : mesure de la pente de  $x$  à chaque instant,
- $x^{(2)} = x''$  : mesure de la courbure de  $x$  en chaque point  
→  $\int_T (x''(t))^2 dt$  : énergie.
- **Autres mesures possibles de la régularité :** opérateur d'accélération harmonique - données périodiques de période  $2\pi/\omega$ .

$$\text{pen}(x) = \int_T (Lx)^2(t) dt, \quad Lx = x^{(3)} + (2\pi/\omega)^2 x'.$$

## Lissage par moindres carrés pénalisés (2)

$$y_j = x(t_j) + \varepsilon_j, \quad j = 1, \dots, p.$$

## Définition

- critère des moindres carrés pénalisé pour le problème de régression lié aux données  $(t_j, y_j)_{j=1, \dots, p}$ , avec pénalité de lissage :

$$\text{Crit}_{\text{PenLS}}(x) = \sum_{j=1}^p (y_j - x(t_j))^2 + \lambda \text{pen}_m(x).$$

$\lambda > 0$  paramètre à calibrer.

- estimateur de type moindres carrés pénalisés

$$\widehat{x} \in \arg \min_x \text{Crit}_{\text{PenLS}}(x).$$

**Question** : sur quel espace de fonctions calculer le minimum ?  $\rightarrow$  sur un espace qui ne comporte que des fonctions  $m$  fois dérivables de dérivées  $m$ -ièmes intégrables sur  $T$ .

## Lissage par moindres carrés pénalisés (3)

$$y_j = x(t_j) + \varepsilon_j, \quad j = 1, \dots, p.$$

**Notation.**  $S^m(T) = \{x : T \rightarrow \mathbb{R}, x^{(m)} \text{ existe et est absolument continue} \}$

## Théorème (Green et Silverman, 1994)

Soit  $\widehat{x} \in \arg \min_{x \in S^m(T)} \text{Crit}_{\text{PenLS}}(x)$ . Alors  $\widehat{x}$  est unique, et définie sur  $T = [a, b]$  de la façon suivante :

- (i) la restriction de  $\widehat{x}$  aux intervalles  $[a, t_1]$  et  $[t_p, b]$  est un polynôme de degré au plus  $m - 1$  ;
- (ii) la restriction de  $\widehat{x}$  aux intervalles  $[t_j, t_{j+1}]$ ,  $j = 1, \dots, p - 1$ , est un polynôme de degré au plus  $2m - 1$  ;
- (iii) la fonction  $\widehat{x}$  est de classe  $C^{2m-2}(T)$ .

En particulier,  $\widehat{x}$  est une spline dont les noeuds sont les points  $t_j$  où il y a des données.

## Définition

$\widehat{x}$  est appelée spline naturelle de lissage d'ordre  $m$  associée aux données  $(t_j, y_j)_{j=1, \dots, p}$ .

## Lissage par moindres carrés pénalisés (4) - Cas des splines cubiques

## Lemme

Si  $m = 2$  alors,

$$\widehat{x} \in \arg \min_{x \in \mathcal{S}^2(T)} \text{Crit}_{\text{PenLS}}(x)$$

est définie de la façon suivante :

$$\begin{aligned} \widehat{x}(t) &= a_j(t - t_j)^3 + b_j(t - t_j)^2 + c_j(t - t_j) + d_j, \quad t \in [t_j, t_{j+1}], \quad j \in \{2, \dots, p-2\}, \\ \widehat{x}(t) &= e_j(t - t_j) + f_j \quad t \in [t_j, t_{j+1}], \quad j \in \{1, p-1\}, \end{aligned}$$

avec les contraintes

$$\widehat{x}_{|[t_{j-1}, t_j]}(t_j) = \widehat{x}_{|[t_j, t_{j+1}]}(t_j), \quad \widehat{x}'_{|[t_{j-1}, t_j]}(t_j) = \widehat{x}'_{|[t_j, t_{j+1}]}(t_j), \quad \widehat{x}''_{|[t_{j-1}, t_j]}(t_j) = \widehat{x}''_{|[t_j, t_{j+1}]}(t_j).$$

Les dérivées d'ordre 2 et 3 en  $a$  et  $b$  sont nulles.

## Lissage par moindres carrés pénalisés (5) - Choix du paramètre de lissage

$$\text{Crit}_{\text{PenLS}}(x) = \sum_{j=1}^p (y_j - x(t_j))^2 + \lambda \text{pen}_m(x).$$

- Paramètre inévitable.
- Compromis nécessaire.
  - $\lambda$  petit : peu de poids pr la pénalité dans la minimisation du critère  $\rightarrow$  ajustement aux données privilégié.  
Cas extrême.  $\lambda = 0$  : interpolation
  - $\lambda$  grand : bcp de poids pr la pénalité  $\rightarrow$  caractère lisse privilégié  
Cas extrême.  $\lambda = \infty$  : droite de régression.

$\rightarrow$  minimisation d'un critère de validation croisée ou validation croisée généralisée.

## Lissage par moindres carrés pénalisés (6) - Code R

$$\text{Crit}_{\text{PenLS}}(x) = \sum_{j=1}^p (y_j - x(t_j))^2 + \lambda \text{pen}_m(x).$$

- **Pas de minimisation sur l'espace  $S^m(T)$  entier.**
- **Définition d'une base  $(\varphi_1, \dots, \varphi_D)$ , et minimisation du critère sur l'espace vectoriel engendré**

→ Calcul de l'objet fonctionnel  $\widehat{x}$  tq

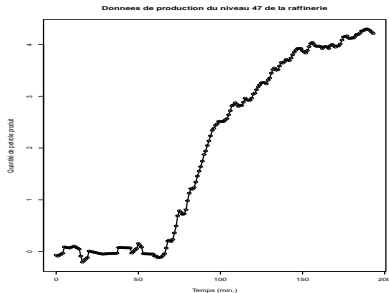
$$\widehat{x}(t) = \sum_{k=1}^D \widehat{\theta}_k \varphi_k(t), \quad t \in T, \quad \widehat{\theta} \in \arg \min_{\theta \in \mathbb{R}^D} \text{Crit}_{\text{PenLS}} \left( \sum_{j=1}^D \theta_j \varphi_j \right).$$

- **Point de départ**
  - Base de fonctions, typiquement le résultat de l'appel à la fonction `create.Nom_base.basis`
  - Vecteur des observations `y`
- **Fonctions essentielles** : `smooth.basis`, précédé d'un appel à `fdPar`

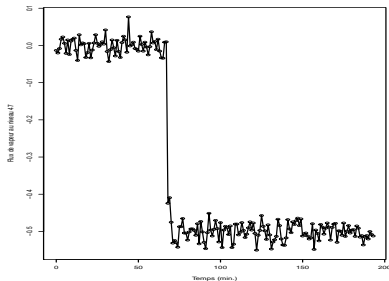
## Lissage par moindres carrés pénalisés (7) - Code R

- Fonction `smooth.basis`
  - Arguments importants
    - `argvals` les valeurs des  $(t_j)_{j=1,\dots,p}$  ;
    - les données  $(y_j)_{j=1,\dots,p}$ .
    - `fdParObj` objet de la classe `basisfd` (sortie de `create.Nom_base.basis`) ou paramètre fonctionnel de la classe `fdPar` (sortie de `fdPar`)
  - Sorties : si `a<-smooth.basis(...)`
    - `a$fd` objet fonctionnel
    - `a$gcv` valeurs du critère de validation croisée généralisée
- Fonction `FdPar` (pour spécifier pénalité - forme et paramètre)
  - Arguments
    - `fdobj` typiquement, la base de fonctions créée à l'aide de `create.Nom_base.basis` ;
    - `Lfdobj` l'ordre  $m$  de la dérivée à utiliser si on choisit comme pénalité  $\text{pen}_m(x) = \int_T (x^{(m)}(t))^2 dt$  ou alors un opérateur différentiel (défini avec `vec2Lfd` par exemple) ;
    - `lambda` le paramètre  $\lambda$  devant la pénalité.
  - Sorties
    - objet de la classe `fdPar`, comportant plusieurs éléments qui mènent à un lissage via `smoothbasis`.

## Lissage par moindres carrés pénalisés (8) - Exemple 1

Lissage des données **refinery**.

quantité de pétrole produit  
à un certain niveau de la colonne de distillation  
en fonction du temps



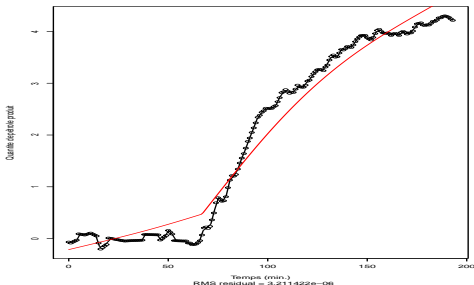
flux de vapeur  
dans cette même colonne  
en fonction du temps

## Lissage par moindres carrés pénalisés (9) - Exemple 1

**Lissages des données refinery.** base de B-splines cubiques avec noeuds aux points d'observation (et un noeud supplémentaire en la discontinuité) et pénalité

$$\text{pen}_2(x) = \int_T (x''(t))^2 dt$$

Courbe noire : obtenue avec  $\lambda = 10^{-5}$ , Courbe rouge : obtenue avec  $\lambda = 10^6$



Code R.

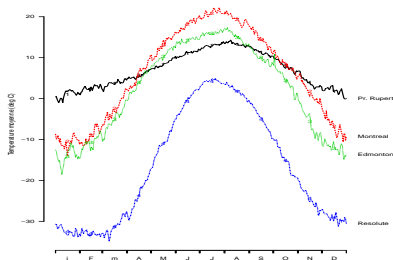
```

Noeuds_refin<-sort(c(refinery$Time,67,67))
Fct_Base_refin<-create.bspline.basis(c(0,193),norder=4,breaks=Noeuds_refin)

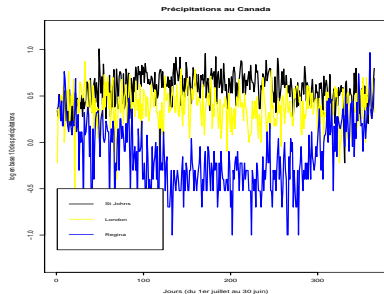
fdpar_refin1<-fdPar(fdobj=Fct_Base_refin,Lfdobj = 2,lambda=0.00001)
Donnees_lissees_refin1 <-smooth.basis(argvals=refinery$Time,y=refinery$Tray47,fdParobj=fdpar_refin1)
plotfit.fd(refinery$Tray47,refinery$Time,Donnees_lissees_refin1$fd,xlab='Temps (min.)',ylab="Quantite de pétrole produit")
fdpar_refin2<-fdPar(fdobj=Fct_Base_refin,Lfdobj = 2,lambda=10^6)
Donnees_lissees_refin2 <-smooth.basis(argvals=refinery$Time,y=refinery$Tray47,fdParobj=fdpar_refin2)
lines(Donnees_lissees_refin2$fd,col=2)

```

## Lissage par moindres carrés pénalisés (10) - Exemple 2

Lissage des données **CanadianWeather**.

Courbes de température.



Courbes de précipitation.

Lissage par moindres carrés pénalisés (11) - Fonction `vec2Lfd`

- **Objectifs** : définir un opérateur différentiel de la forme

$$Lx(t) = \beta_0 x(t) + \beta_1 x'(t) + \dots + \beta_{m-1} x^{(m-1)}(t) + x^{(m)}(t)$$

- **Arguments** :

- le vecteur des coefficients  $(\beta_0, \dots, \beta_{m-1})$  ;
- `rangeval` les extrémités de l'intervalle de définition de l'opérateur.

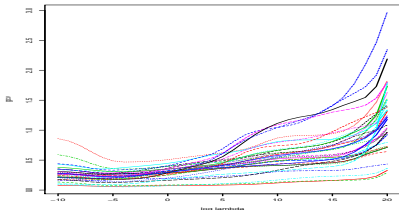
- **Exemple** : opérateur d'accélération harmonique de période  $2\pi/\omega$ .

$$Lx = x^{(3)} + (2\pi/\omega)^2 x'$$

premier argument : `c(0, (2*pi/omega)^2, 0)`.

## Lissage par moindres carrés pénalisés (12) - Exemple 2

Lissage des données **CanadianWeather**, températures. base de Fourier de période 365 avec pénalité définie par l'opérateur harmonique, et paramètre  $\lambda$  optimisé par gcv.



Critère de validation croisée généralisée (gcv) en fonction de  $\lambda$ .

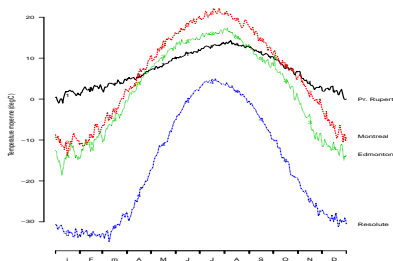
## Code R

```
temperature = CanadianWeather$dailyAv[, 'Temperature.C']
jours = 1:365 - 0.5
op_harmonique = vec2Lfd( c(0, (2*pi/365)^2, 0), c(0, 365) )
Fct_base_CanadianW = create.fourier.basis(c(0, 365), nbasis=365)

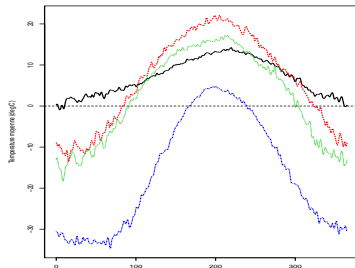
gcvtemp = matrix(0, 31, 35)
for(i in 1:31){
  lambda = exp(i-10)
  fdPar_CanadianW = fdPar(Fct_base_CanadianW, op_harmonique, lambda)
  gcvtemp[i,] = smooth.basis(jours, temperature, fdPar_CanadianW)$gcv
}
matplot(-10:20, gcvtemp, type='l', xlab='log lambda', ylab='gcv')
mgcvtemp = apply(gcvtemp, 1, mean)
lines(-10:20, mgcvtemp, lwd=2, col=4)
```

## Lissage par moindres carrés pénalisés (13) - Exemple 2

Lissage des données **CanadianWeather**, températures. base de Fourier de période 365 avec pénalité définie par l'opérateur harmonique, et paramètre  $\lambda$  optimisé par gcv.



Données brutes



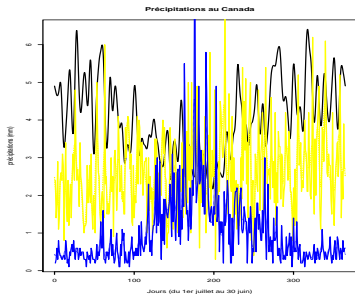
Données lissées

## Code R

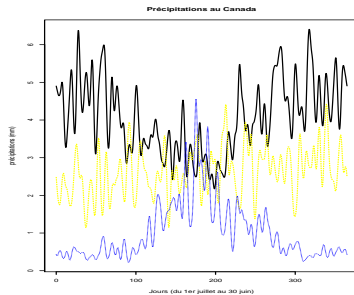
```
i = which.min(mgcvtemp)
lambda_gcv_temp = exp(i-10)
fdPar_CanadianTemp_gcv = fdPar(Fct_base_CanadianW, op_harmonique, lambda_gcv_temp)
Donnees_lissees_temp = smooth.basis(jours, temperature, fdPar_CanadianTemp_gcv)$fd
```

## Lissage par moindres carrés pénalisés (14) - Exemple 3

**Lissage des données **CanadianWeather**, précipitations.** base de Fourier de période 365 avec pénalité définie par l'opérateur harmonique, et paramètre  $\lambda$  optimisé par gcv.

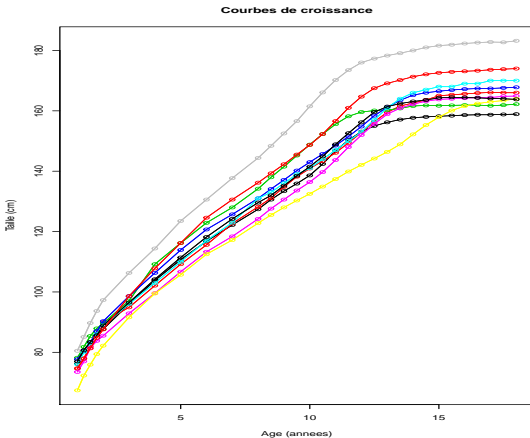


Données brutes



Données lissées

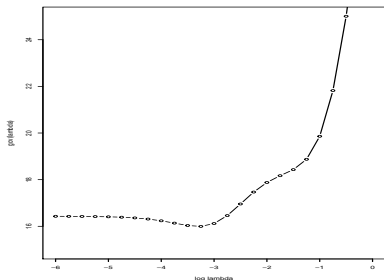
## Lissage par moindres carrés pénalisés (15) - Exemple 4

Lissage des données **growth**.

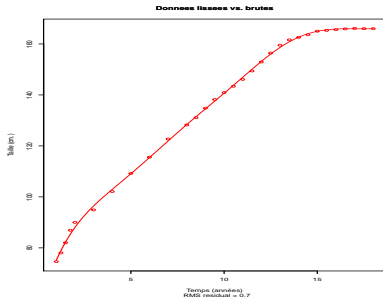
Courbes de croissance de 10 filles, de 1 à 18 ans.

## Lissage par moindres carrés pénalisés (20) - Exemple 4

**Lissage des données *growth*.** base de  $B$ -splines, d'ordre 6, noeuds à chaque année  
 pénalité  $\text{pen}_4(x) = \int_T (x^{(4)}(t))^2 dt$ ,  $\lambda$  choisi à l'aide du critère gcv.



Somme du critère gcv en fonction de  $\lambda$   
 pour toutes les filles de l'échantillon



Données lissées vs. données brutes  
 pour 1 individu.